

Calcul quantique:le cadre mathématique.

Géraud Sénizergues

LaBRI, Bordeaux.

Séminaire LIS, 21 et 28 Mars 2023

Le cadre mathématique

contents

- 1 Un peu d'histoire
- 2 Produit tensoriel
 - Cas général
 - Produit tensoriel d'applications linéaires
- 3 Espaces de Hilbert
 - Produit scalaire
 - Endomorphismes normaux
 - Notation de Dirac
 - Produit tensoriel d'espaces de Hilbert
- 4 Postulats physiques
- 5 États mixtes
 - Mesures de probabilité
 - Opérateurs de densité
- 6 L'algorithme de Simon via les états mixtes
- 7 La décohérence via les états mixtes

Un peu d'histoire

Calcul/Information classique et logique

- [Gödel 1926], [Kleene 1937] : Fonctions récursives
- [Church 1936] : Lambda-calcul
- [Turing 1936] : Machines de Turing

Thèse de Church-Turing (logique) :

Les fonctions calculables **en un sens mathématique naturel** sont les fonctions Turing-calculables.

Thèse de Church-Turing (physique) :

les fonctions calculables **par un dispositif physique** sont les fonctions Turing-calculables

Calcul/Information classique et logique

Autres questions :

Q1 tout phénomène physique est-il descriptible par une loi déterministe Turing-calculable ?

Q2 toute fonction Turing-calculable est-elle calculable par un dispositif physique ?

Réponses (dans le monde de la physique [classique](#)) :

Q1

OUI : preuve mathématique [Gandhi 1985], [Dershowitz, Gurevich 2008].

Q2

2.1 OUI fabrication d'un ordinateur [ENIAC, Eckert-Mauchly 1945].

2.2 OUI preuve mathématique [Bennett, Toffoli ~ 1980].

Calcul/Information classique et physique classique

- Brillouin 1956 : Science and [information theory](#)
- Landauer, Bennett, Toffoli [\sim 1960] : calcul [réversible](#)
- Gandy 1985 : déduit la [thèse de Church-Turing](#) des lois de la physique [classique](#).

Calcul/Information quantique et physique quantique

- Feynmann 1982 : faire calculer les lois de la mécanique quantique ...par des **systèmes quantiques**
- Deutsch 1985 : machine de Deutsch i.e. machine de Turing , mais **quantique**
démontre l'existence d'une machine **universelle** quantique.
- Arrighi-Dowek 2012 : déduisent la **thèse de Church-Turing** des lois de la physique **quantique**.

Physique “informationnelle”

J.A. Wheeler [directeur de thèse de Feynmann] : “**Everything is information**” changement de paradigme, voir [Gruska, 2007, poly de calcul quantique].

P. Höhn : **déduit** la formulation de la mécanique quantique (espaces de Hilbert, opérateurs linéaires hermitiens (resp. unitaires), amplitude de probabilité) d'axiomes “**informationnels**” i.e. sur l'acquisition et la communication d'informations.

Produit tensoriel

Produit tensoriel : définition

Soient E, F deux espaces vectoriels de dimension finie sur un corps commutatif K . Soit \mathcal{B} (resp. \mathcal{C}) une base de E (resp. de F).

Considérons l'ensemble

$$T := K^{\mathcal{B} \times \mathcal{C}}$$

muni des opérations suivantes :

addition :

$$\varphi + \psi : (b, c) \mapsto \varphi(b, c) + \psi(b, c)$$

produit par un scalaire :

$$k \cdot \varphi : (b, c) \mapsto k \cdot \varphi(b, c)$$

On vérifie que T , muni de ces deux opérations, est un espace vectoriel sur K .

Produit tensoriel : définition

Définissons, pour tout $b \in \mathcal{B}$ et tout $c \in \mathcal{C}$, l'élément suivant de T , que nous noterons $b \otimes c$:

$$b \otimes c : (b, c) \mapsto 1, (b', c') \mapsto 0 \text{ (pour tout } (b', c') \neq (b, c) \text{)}$$

On vérifie alors que tout élément φ de T s'écrit sous la forme :

$$\varphi = \sum_{b \in \mathcal{B}, c \in \mathcal{C}} \varphi(b, c) \cdot b \otimes c$$

et que, d'autre part, si

$$\varphi = \sum_{b \in \mathcal{B}, c \in \mathcal{C}} k_{b,c} \cdot b \otimes c$$

pour une famille $(k_{b,c})_{(b,c) \in \mathcal{B} \times \mathcal{C}}$, alors

$$\forall b \in \mathcal{B}, \forall c \in \mathcal{C}, k_{b,c} = \varphi(b, c).$$

Produit tensoriel : définition

Donc $\{b \otimes c \mid b \in \mathcal{B}, c \in \mathcal{C}\}$ est une base de T . L'application $(b, c) \mapsto b \otimes c$ peut être étendue, par bilinéarité, à l'espace produit :

$$\left(\sum_{b \in \mathcal{B}} \lambda_b b\right) \otimes \left(\sum_{c \in \mathcal{C}} \mu_c c\right) := \sum_{b \in \mathcal{B}, c \in \mathcal{C}} \lambda_b \mu_c \cdot (b \otimes c).$$

Cette application bilinéaire $\otimes : E \times F \rightarrow T$ est l'application **bilinéaire la plus générale** que l'on puisse définir depuis $E \times F$ vers n'importe quel autre e.v. sur K .

Proposition

Soit B une application bilinéaire de $E \times F$ dans un espace vectoriel T' sur K . Alors, il existe une unique application linéaire $\tilde{B} : T \rightarrow T'$ telle que :

$$B = \tilde{B} \circ \otimes.$$

Produit tensoriel :definition

- La proposition 1 énonce la *propriété universelle* du produit tensoriel :
- elle est universelle, en ce qu'elle parle de *toutes* les applications bilinéaires
 - elle *caractérise* le couple (espace T , application bilinéaire \otimes) à isomorphisme près.

$$\begin{array}{ccc}
 E \times F & \xrightarrow{\otimes} & E \otimes F \\
 \downarrow B \text{ (bilin.)} & & \swarrow \tilde{B} \text{ (lin.)} \\
 & & T'
 \end{array}$$

Figure – La propriété universelle du produit tensoriel.

Produit tensoriel : définition

Une construction qui partirait de bases \mathcal{B}' , \mathcal{C}' différentes, aboutirait à un espace vectoriel T' , **isomorphe** à l'espace T , par un isomorphisme **compatible** avec les applications $\otimes : E \times F \rightarrow T$ et $\otimes : E \times F \rightarrow T'$.

Produit tensoriel : un exemple

Soit $K = \mathbb{R}, E = \mathbb{C}, F = \mathbb{R}^3$

$$E = \text{Vec}\{1, i\}, \quad F = \text{Vec}\{e_1, e_2, e_3\}$$

où $e_1 = (1, 0, 0), e_2 = (0, 1, 0), e_3 = (0, 0, 1)$.

$$E \otimes F = \text{Vec}\{1 \otimes e_1, i \otimes e_1, 1 \otimes e_2, i \otimes e_2, 1 \otimes e_3, i \otimes e_3\}.$$

$F_{\mathbb{C}} = \mathbb{C} \otimes F$ est le **complexifié** de F .

C'est un e.v. sur \mathbb{C} pour la loi externe :

$$(a + ib) \odot u = (a + ib) \otimes u$$

Produit tensoriel : un exemple

Une base de $F_{\mathbb{C}}$ sur \mathbb{C} est $\{e_1, e_2, e_3\}$:

- elle est génératrice

- elle est libre :

si

$$\sum_{j=1}^3 (a_j + ib_j) \otimes e_j = 0$$

alors

$$\sum_{j=1}^3 a_j (1 \otimes e_j) + \sum_{j=1}^3 b_j (i \otimes e_j) = 0$$

donc

$$\forall j \in [1, 3], a_j = b_j = 0.$$

Couramment utilisé pour démontrer des formes normales pour les endomorphismes de \mathbb{R}^n .

Produit tensoriel d'applications linéaires

Soient E, E', F, F' des espaces vectoriels de dimension finie sur un corps commutatif K . **Première** définition :
pour toutes applications linéaires

$$\varphi \in \mathcal{L}(E, E'), \psi \in \mathcal{L}(F, F')$$

nous définissons une application linéaire

$$\varphi \hat{\otimes} \psi \in \mathcal{L}(E \otimes F, E' \otimes F'),$$

de la façon suivante : supposons que \mathcal{B} (resp. \mathcal{C}) est une base de E (resp. de F). On pose

$$\varphi \hat{\otimes} \psi \left(\sum_{(b,c) \in \mathcal{B} \times \mathcal{C}} \lambda_{b,c} b \otimes c \right) := \sum_{(b,c) \in \mathcal{B} \times \mathcal{C}} \lambda_{b,c} \varphi(b) \otimes \psi(c).$$

Produit tensoriel d'applications linéaires

Deuxième définition :

l'application $(u, v) \mapsto \varphi(u) \otimes \psi(v)$ est une application bilinéaire de $E \times F$ dans $E' \otimes F'$, donc il existe une unique application linéaire

$$\Phi : E \otimes F \rightarrow E' \otimes F'$$

qui fait commuter le diagramme ci-dessous.

$$\begin{array}{ccc}
 E \times F & \xrightarrow{\otimes} & E \otimes F \\
 \varphi \times \psi \text{ (lin.)} \downarrow & \searrow & \downarrow \Phi = \varphi \hat{\otimes} \psi \text{ (lin.)} \\
 E' \times F' & \xrightarrow{\otimes} & E' \otimes F'
 \end{array}$$

Figure – Produit tensoriel d'applications linéaires.

Produit tensoriel d'applications linéaires

- 1- Comme l'application définie par la première définition fait commuter le diagramme, les deux définitions sont équivalentes.
- 2- L'application $\varphi \hat{\otimes} \psi$ ne dépend *que* des applications φ, ψ (vu la deuxième définition)

Produit tensoriel d'applications linéaires

Considérons maintenant l'application :

$$\hat{\otimes} : \mathcal{L}(E, E') \times \mathcal{L}(F, F') \rightarrow \mathcal{L}(E \otimes F, E' \otimes F')$$

$$(\varphi, \psi) \mapsto (\varphi \hat{\otimes} \psi)$$

Cette application est bilinéaire. Par la propriété universelle, il existe une unique application linéaire

$$H : \mathcal{L}(E, E') \otimes \mathcal{L}(F, F') \rightarrow \mathcal{L}(E \otimes F, E' \otimes F')$$

faisant commuter le diagramme :

Produit tensoriel d'applications linéaires

$$\begin{array}{ccc}
 \mathcal{L}(E, E') \times \mathcal{L}(F, F') & \xrightarrow{\otimes} & \mathcal{L}(E, E') \otimes \mathcal{L}(F, F') \\
 \downarrow \hat{\otimes} \text{ (bilin.)} & & \nearrow H \text{ (lin.)} \\
 \mathcal{L}(E \otimes F, E' \otimes F') & &
 \end{array}$$

Figure – L'isomorphisme H .

i.e. vérifiant que, $H(\varphi \otimes \psi) = \varphi \hat{\otimes} \psi$.

Produit tensoriel d'applications linéaires : exemple

Un automate fini avec multiplicités dans K (K -automate, en abrégé) est un 5-uplet $\mathcal{A} = \langle X, Q, I, T, \tau \rangle$ où

- X est un ensemble fini, l'alphabet d'entrée
- $Q = \{q_0, \dots, q_{d-1}\}$ est un ensemble fini, l'ensemble des états
- $I \in K^{1 \times d}$ est le vecteur-ligne initial
- $T \in K^{d \times 1}$ est le vecteur-colonne terminal
- $\tau \subseteq Q \times X \times K \times Q$ est l'ensemble des transitions

Pour toute lettre $x \in X$, on note $\mu_{\mathcal{A}}(x) \in K^{d \times d}$ la matrice dont le coefficient en ligne i , colonne j est :

$$\mu_{\mathcal{A}}(x)_{i,j} := \sum_{(q_i, x, k, q_j) \in \tau} k$$

$$S(\mathcal{A}) : w \mapsto I \cdot \mu_{\mathcal{A}}(w) \cdot T$$

Produit tensoriel d'applications linéaires : exemple

Soient deux automates finis avec multiplicité $\mathcal{A}_1, \mathcal{A}_2$.
 Posons $I = I_1 \otimes I_2 \in K^{1 \times d_1 \cdot d_2}$,

$$\mu(x) = \mu_1(x) \otimes \mu_2(x) \in K^{d_1 \cdot d_2 \times d_1 \cdot d_2},$$

$T = T_1 \otimes T_2 \in K^{d_1 \cdot d_2 \times 1}$. Alors :

$$(S_1 \odot S_2)(w) = I \cdot \mu(w) \cdot T$$

autrement dit, le **produit tensoriel** des représentations linéaires de S_1, S_2 représente $S_1 \odot S_2$.

Produit tensoriel d'applications linéaires

Theorem

L'application H est un isomorphisme de $\mathcal{L}(E, E') \otimes \mathcal{L}(F, F')$ dans $\mathcal{L}(E \otimes F, E' \otimes F')$.

On peut donc "identifier" l'objet $\varphi \otimes \psi$ avec son image par H i.e. $\varphi \hat{\otimes} \psi$.

Fait

Pour tous

$$L_1 \in \mathcal{L}(E_1, E'_1), L'_1 \in \mathcal{L}(E'_1, E''_1), L_2 \in \mathcal{L}(E_2, E'_2), L'_2 \in \mathcal{L}(E'_2, E''_2), \\ (L'_1 \otimes L'_2) \cdot (L_1 \otimes L_2) = (L'_1 \cdot L_1) \otimes (L'_2 \cdot L_2)$$

Preuve. Ces deux applications sont linéaires et coïncident sur les vecteurs de $E_1 \otimes E_2$. ■

Espaces de Hilbert

Produit scalaire

Espaces de Hilbert :produit scalaire

Soit \mathcal{H} un espace vectoriel sur le corps des nombres complexes \mathbb{C} .
On appelle “produit scalaire” sur \mathcal{H} toute application de $\mathcal{H} \times \mathcal{H}$
dans \mathbb{C} , notée :

$$(u, v) \mapsto (u|v)$$

qui vérifie les propriétés suivantes :

linéarité à droite :pour tous $u, v_1, v_2 \in \mathcal{H}, \lambda_1, \lambda_2 \in \mathbb{C}$

$$(u|\lambda_1 v_1 + \lambda_2 v_2) = \lambda_1 (u|v_1) + \lambda_2 (u|v_2) \quad (2)$$

anti-linéarité à gauche :pour tous $u_1, u_2, v \in \mathcal{H}, \lambda_1, \lambda_2 \in \mathbb{C}$

$$(\lambda_1 u_1 + \lambda_2 u_2|v) = \overline{\lambda_1} (u_1|v) + \overline{\lambda_2} (u_2|v) \quad (3)$$

symétrie hermitienne :pour tous $u, v \in \mathcal{H}$

$$(u|v) = \overline{(v|u)} \quad (4)$$

Espaces de Hilbert :produit scalaire

Remarquons que :

(2) et (4) entraînent (3); (4) entraîne que $(u|u)$ est un nombre réel.

positivité :pour tout $u \in \mathcal{H}$

$$(u|u) \geq 0 \tag{5}$$

non-dégénérescence :pour tout $u \in \mathcal{H}$

$$\forall v \in \mathcal{H}, (u|v) = 0 \Rightarrow u = 0 \tag{6}$$

Espaces de Hilbert : produit scalaire

Inégalité de Cauchy-Schwarz :

si $(*|*)$ est sesquilinéaire et positive, alors, pour tous $u, v \in \mathcal{H}$:

$$|(u|v)|^2 \leq |(u|u)| \cdot |(v|v)|.$$

Sachant que $(*|*)$ est positive, la non-dégénérescence équivaut à :

$$\forall u \in \mathcal{H}, (u|u) = 0 \Rightarrow u = 0. \quad (7)$$

(forme sesquilinéaire *définie* positive).

Espaces de Hilbert :produit scalaire

On appelle *espace pré-hilbertien* tout espace vectoriel \mathcal{H} sur \mathbb{C} muni d'un produit scalaire $(*|*)$ vérifiant les propriétés ci-dessus.

Lorsque \mathcal{H} est de dimension finie, il s'agit d'un espace *de Hilbert*.

Cas général : un *espace de Hilbert* est un espace *pré-Hilbertien*, qui est *complet* et qui admet une *partie dénombrable dense*.

Dans ce qui suit, on ne considérera que des espaces de Hilbert de dimension *finie* \mathcal{H} .

Espaces de Hilbert : produit scalaire

On rappelle que le dual de \mathcal{H} , noté \mathcal{H}^* est l'espace des formes linéaires sur \mathcal{H} : $\mathcal{H}^* := \mathcal{L}(\mathcal{H}, \mathbb{C})$.

\mathcal{H} admet au moins une base orthonormée i.e. une famille de vecteurs e_1, e_2, \dots, e_n qui est une base et telle que

$$\forall i, j \in [1, n], (e_i | e_j) = \delta_i^j$$

où δ_i^j , le symbole de Kronecker signifie 1 si $i = j$ et 0 si $i \neq j$.

Fixons une base orthonormée de \mathcal{H} . Si les vecteurs u, v ont pour coordonnées respectives $X, Y \in \mathbb{M}_{n,1}(\mathbb{C})$ dans cette base, alors leur produit scalaire vaut

$$(u | v) = X^\dagger \cdot Y.$$

(dans le membre droit, \cdot dénote le produit matriciel).

Espaces de Hilbert : produit scalaire

Autrement écrit : si

$$X = \begin{pmatrix} x_1 \\ \vdots \\ x_k \\ \vdots \\ x_n \end{pmatrix}, Y = \begin{pmatrix} y_1 \\ \vdots \\ y_k \\ \vdots \\ k_n \end{pmatrix}$$

alors

$$X^\dagger = (\bar{x}_1 \quad \dots \quad \bar{x}_k \quad \dots \quad \bar{x}_n)$$

$$(u|v) = \sum_{k=1}^n \bar{x}_k \cdot y_k.$$

Espaces de Hilbert :adjoint

Considérons une application linéaire $L : \mathcal{H} \rightarrow \mathcal{H}$. L'application adjointe, L^* est définie par :

$$\forall u, v \in \mathcal{H}, (u|Lv) = (L^*u|v). \quad (8)$$

On vérifie que si M est la matrice de L dans une bases orthonormée \mathcal{E} , alors la matrice de L^* dans la même base est M^\dagger définie par

$$M = (m_{i,j})_{i,j \in [1,n]}, \quad M^\dagger := (\bar{m}_{j,i})_{i,j \in [1,n]}.$$

Espaces de Hilbert : adjoint

Les propriétés suivantes des applications linéaires sont souvent utilisées en mécanique quantique :

L est *hermitien* ssi

$$\forall u, v \in \mathcal{H}, (u|Lv) = (Lu|v)$$

ce qui revient à $L = L^*$ ou encore au fait que sa matrice M (dans une base orthonormée) vérifie $M = M^\dagger$.

L est *unitaire* ssi

$$\forall u, v \in \mathcal{H}, (Lu|Lv) = (u|v)$$

ce qui revient à $L^*L = \text{Id}_{\mathcal{H}}$, ou encore au fait que sa matrice M (dans une base orthonormée) vérifie $M \cdot M^\dagger = I_n$.

Espaces de Hilbert : Endomorphismes normaux

L'endomorphisme $L \in \mathcal{L}(\mathcal{H}, \mathcal{H})$ est dit *normal* ssi

$$L \cdot L^* = L^* \cdot L$$

Théorème

Si L est normal, alors, il existe une base orthonormée de \mathcal{H} , formée de vecteurs propres de L .

Idée de la preuve :

Tout sous-espace $F \subseteq \mathcal{H}$ stable par L , a un orthogonal F^\perp stable par L^* .

Cas particuliers :

Endomorphismes hermitiens : $L^* = L$

Endomorphismes unitaires : $L^* = L^{-1}$

Notation de Dirac

Notation de Dirac

La propriété de non-dégénérescence du produit scalaire entraîne que l'application :

$$G : \mathcal{H} \rightarrow \mathcal{H}^*$$

est définie par

$$G(u) : v \mapsto (u|v) \tag{9}$$

est semi-linéaire et injective (puisque son noyau est réduit à $\{0\}$). Comme \mathcal{H} est de dimension finie, \mathcal{H} et \mathcal{H}^* ont même dimension, ce qui entraîne que G est un **anti-isomorphisme**.

Pour tous vecteurs $u, v \in \mathcal{H}$

$$(u|v) = G(u)(v)$$

i.e. le produit scalaire du vecteur u par le vecteur v est égal à la valeur de la forme linéaire $G(u)$ appliquée à l'argument v .

Notation de Dirac

Décidons de noter

$$|u\rangle, |v\rangle, |w\rangle, |0\rangle, |1\rangle, \dots$$

les vecteurs de \mathcal{H} , puis de noter

$$\langle u|, \langle v|, \langle w|, \langle 0|, \langle 1|, \dots$$

leurs images par G .

L'équation précédente devient alors

$$(u|v) = G(u)(v) = \langle u||v\rangle$$

Décidons maintenant de ne retenir qu'une barre verticale dans le membre droit, on obtient alors

$$(u|v) = G(u)(v) = \langle u|v\rangle$$

Notation de Dirac : quelques usages

Soit $L \in \mathcal{L}(\mathcal{H}, \mathcal{H})$, La notation

$$\langle u | L | v \rangle$$

signifie : la forme $\langle u |$ appliquée à l'argument $L(|v\rangle)$, i.e.

$$(u | Lv)$$

Si nous déplaçons les parenthèses d'un cran vers la gauche, la notation devient

$$(\langle u | L) | v \rangle$$

qui signifie : la forme $\langle u | L$ appliquée à l'argument $|v\rangle$;
où

$$\langle u | L := \langle u | \circ L$$

est la forme linéaire composée de l'endomorphisme L par la forme $\langle u |$: le résultat est le même.

Notation de Dirac : quelques usages

Remarquons aussi que :

$$\langle u|L = \langle L^* u|.$$

(ces deux formes, appliquées à un même argument $|v\rangle$ donnent le même résultat).

Notation de Dirac : quelques usages

Une notation, plus étrange, est la suivante :

$$|v\rangle \langle u| \tag{10}$$

Elle désigne l'application linéaire :

$$|w\rangle \mapsto |v\rangle \langle u|w\rangle = |v\rangle (\langle u|w\rangle)$$

L'expression entre parenthèses est un nombre ; (10) désigne l'application linéaire :

$$|w\rangle \mapsto \langle u|w\rangle |v\rangle$$

On vérifie que

$$\text{Tr}(|v\rangle \langle u|) = \langle u|v\rangle$$

Produit tensoriel d'espaces de Hilbert

Produit scalaire

Supposons que $\mathcal{B} = \{b_1, \dots, b_i, \dots, b_n\}$ est une base orthonormée de E et $\mathcal{C} = \{c_1, \dots, c_j, \dots, c_m\}$ est une base orthonormée de F .
 Considérons la forme sesqui-linéaire S (i.e. semi-linéaire à gauche, linéaire à droite) définie sur la base $\{b_i \otimes c_j | i \in [1, n], j \in [1, m]\}$ par

$$S(b_i \otimes c_j, b_k \otimes c_\ell) := (b_i | b_k) \cdot (c_j | c_\ell).$$

Elle est (par définition) sesqui-linéaire. La matrice de S , dans la base $\{b_i \otimes c_j | i \in [1, n], j \in [1, m]\}$ est :

$$I_{nm}.$$

Donc S est "hermitienne, définie-positive". L'espace $E \otimes F$, muni de la forme S , est un espace de Hilbert.

Produit tensoriel d'espaces de Hilbert

La forme S sera noté $(*|*)$ (comme dans E et F). On montre que, pour tous $u, u' \in E, v, v' \in F$

$$(u \otimes v | u' \otimes v') = (u | u')(v | v').$$

Preuve : le lhs et le rhs définissent des applications $E \times F \times E \times F \rightarrow \mathbb{C}$ qui sont linéaires par rapport à v, v' et anti-linéaires par rapport à u, u' . Comme elles coincident sur les quadruplets formés d'éléments des bases \mathcal{B}, \mathcal{C} , elles sont égales.

□

N.B. le produit scalaire sur $E \otimes F$ ne **dépend donc que des produits scalaires** sur les facteurs E, F .

Produit tensoriel d'espaces de Hilbert

Compatibilité avec l'anti-isomorphisme G

Pour tous $u \in E, v \in F$.

$$\langle u \otimes v | = \langle u | \otimes \langle v |.$$

Esquisse de preuve. On prouve que ces deux éléments de $(E \otimes F)^*$ coïncident sur les vecteurs de la forme $|u_1\rangle \otimes |v_1\rangle$. ■

Postulats physiques

Espace des états

Un système physique \mathcal{S} est décrit par un espace de Hilbert \mathcal{H} .
Chaque état du système est décrit par un vecteur unitaire :

$$|\psi\rangle \in \mathcal{H}, \quad \langle\psi|\psi\rangle = 1.$$

Système \mathcal{S} formé de **deux** particules A_1, A_2 :
 \mathcal{H}_1 (resp. \mathcal{H}_2) est l'espace de A_1 (resp. A_2).
L'espace du système entier est

$$\mathcal{H} := \mathcal{H}_1 \otimes \mathcal{H}_2.$$

Système \mathcal{S} formé de **n sous-systèmes** $\mathcal{S}_1, \dots, \mathcal{S}_n$:

$$\mathcal{H} := \bigotimes_{j=1}^n \mathcal{H}_j.$$

Evolution

Espace des états : sphère unité d'un espace de Hilbert \mathcal{H} .

Équation de Schrödinger :

$$i\hbar \frac{d}{dt} |\psi\rangle(t) = H(t) |\psi\rangle(t)$$

où $H(t) \in \mathcal{L}(\mathcal{H})$, $H(t) = H^*(t)$.

Si $H(t)$ est constant, il existe une application dérivable

$U : \mathbb{R} \times \mathbb{R} \rightarrow \mathcal{U}(\mathcal{H})$ telle que, $\forall t \in \mathbb{R}$, $U(t, t) = I$ et, pour tous $(t_0, t) \in \mathbb{R} \times \mathbb{R}$ et $|\psi_0\rangle \in \mathcal{H}$

$$|\psi\rangle(t) = U(t_0, t) |\psi_0\rangle$$

est l'unique solution de l'équation sur \mathbb{R} t.q. $|\psi\rangle(t_0) = |\psi_0\rangle$.

NB : il suffit de poser $U(t_0, t) = \exp(-i \frac{t-t_0}{\hbar} H)$.

Mesure

Observable \mathcal{M} : protocole de mesure d'une grandeur sur le système.
Opérateur **hermitien** associé

$$M \in \mathcal{L}(\mathcal{H}, \mathcal{H})$$

tel que

$$M^* = M.$$

Soit $\mathcal{H}_\lambda = \text{Ker}(M - \lambda I)$, pr_λ la projection orthogonale sur le sous-espace propre \mathcal{H}_λ .

Mesure

Résultat d'une mesure :

$\mu : \Omega \rightarrow \mathbb{R}$ est une **variable aléatoire**. Si le système est dans l'état $|\psi\rangle$

$$\Pr\{\mu = \lambda\} = \|\text{pr}_\lambda |\psi\rangle\|^2$$

État après la mesure :

$$\frac{1}{\|\text{pr}_\lambda |\psi\rangle\|} \cdot \text{pr}_\lambda |\psi\rangle$$

la fonction d'onde **"s'effondre"**.

Mesure et évolution de sous-systèmes

Système \mathcal{S} formé de deux sous-systèmes $\mathcal{S}_1, \mathcal{S}_2$, dont les espaces sont \mathcal{H}_1 (resp. \mathcal{H}_2).

Evolution : si U_1, U_2 sont des évolutions possibles de $\mathcal{S}_1, \mathcal{S}_2$, alors $U_1 \otimes U_2$ est une évolution possible de $\mathcal{S}_1, \mathcal{S}_2$.

NB : $U_1 \otimes U_2 = (U_1 \otimes I_2) \cdot (I_1 \otimes U_2)$

Mesure : la mesure de l'observable \mathcal{M}_1 sur \mathcal{S}_1 est représentée par l'endomorphisme

$$M_1 \otimes I_2$$

sur \mathcal{S} .

la mesure de l'observable \mathcal{M}_2 sur \mathcal{S}_2 est représentée par l'endomorphisme

$$I_1 \otimes M_2$$

sur \mathcal{S} .

Circuits quantiques

un qbit : espace $\mathcal{B} = \text{Vect}_{\mathbb{C}}(|0\rangle, |1\rangle) \simeq \mathbb{C}^2$.

n qbits : espace $\mathcal{B}^{\otimes n}$.

transition d'évolution : une application unitaire de la forme

$$I_{2^p} \otimes P \otimes I_{2^{n-p-r}}$$

pour un ensemble fini de portes $P \in U(\mathcal{B}^{\otimes r})$ avec $r \leq 3$.

mesure : une famille de projecteurs orthogonaux $(\text{pr}_j)_{j \in J}$ tels que

$$\sum_{j \in J} \text{pr}_j = I_{2^n}, \quad \text{pr}_j \circ \text{pr}_k = \text{pr}_k \circ \text{pr}_j$$

(i.e. $\mathcal{H} = \bigoplus_{j=1}^{\ell} \text{Im pr}_j$ et $k \neq j \Rightarrow \text{Im pr}_j \subseteq (\text{Im pr}_k)^{\perp}$).

résultat : $\text{Pr}(\mu = j) = \|\text{pr}_j |\psi\rangle\|^2$

transition : $|\psi\rangle \mapsto \frac{1}{\|\text{pr}_j |\psi\rangle\|} \text{pr}_j |\psi\rangle$

Circuits quantiques

Réalisation des mesures :

Cas 1 : $J = \mathbb{B}^n, \text{pr}_{\vec{b}} = \text{projection orthogonale sur } \mathbb{C} \cdot |\vec{b}\rangle$.

On considère une observable \mathcal{M} sur un qbit, de matrice M (dans la base $(|0\rangle, |1\rangle)$) :

$$M = \begin{pmatrix} \lambda_0 & 0 \\ 0 & \lambda_1 \end{pmatrix}$$

On considère l'observable \mathcal{M}_k : mesurer \mathcal{M} sur le qbit numéro k . Elle est représentée par l'endomorphisme :

$$I_{2^{k-1}} \otimes M \otimes I_{2^{n-k+1}}.$$

la variable aléatoire : $\mu_k : \Omega \rightarrow \mathbb{R}$

l'espace propre de \mathcal{M}_k associé à λ_b est :

$$E_{k,b} = \mathcal{B}^{\otimes(k-1)} \otimes |b\rangle \otimes \mathcal{B}^{\otimes(n-k+1)}$$

la projection sur ce sous-espace est : $\text{pr}_{k,b}$

Circuits quantiques

Si on mesure successivement \mathcal{M}_1 sur le qbit 1, puis \mathcal{M}_2 sur 2, puis ... \mathcal{M}_n sur n , on obtient un vecteur de résultats :

$$\lambda_{b_1}, \lambda_{b_2}, \dots, \lambda_{b_n}.$$

avec probabilité :

$$\Pr(\forall k, \mu_k = \lambda_{b_k}) = \|\text{pr}_{n,b_n} \cdots \text{pr}_{k,b_k} \cdots \text{pr}_{1,b_1} |\psi\rangle\|^2.$$

et transition vers l'état :

$$\frac{1}{\|\text{pr}_{n,b_n} \cdots \text{pr}_{k,b_k} \cdots \text{pr}_{1,b_1} |\psi\rangle\|} \text{pr}_{n,b_n} \cdots \text{pr}_{k,b_k} \cdots \text{pr}_{1,b_1} |\psi\rangle.$$

On a donc simulé la famille de projecteurs :

$$(\text{pr}_{\vec{b}})_{\vec{b} \in \mathbb{B}^n}$$

et les résultats de mesures

$$\vec{b} \in \mathbb{B}^n.$$

Circuits quantiques

Cas 2 : $J =$ une **partition de \mathbb{B}^n** ,

$p_{r_j} =$ projection orthogonale sur $\text{Vect}_{\mathbb{C}}(\{|\vec{b}\rangle \mid \vec{b} \in j\})$.

On simule ces mesures via la famille de projecteurs précédente :

- on fait les **mêmes** mesures
- on pose $\mu = j$ si le résultat est un vecteur $\vec{b} \in j$

Circuits quantiques

Cas 3 : J ensemble ($|J| \leq 2^n$) et $\mathcal{H} = \bigoplus_{j \in J} \text{Im pr}_j$ avec

$$k \neq j \Rightarrow \text{Im pr}_j \subseteq (\text{Im pr}_k)^\perp$$

On réalise un circuit C qui envoie une décomposition de la forme du cas 2, vers cette décomposition.

On applique le circuit C^{-1} , puis on fait une mesure comme dans le cas 2, puis on applique le circuit C .

États mixtes

États mixtes : mesures de probabilité

Lorsqu'on effectue une mesure de \mathcal{S} dans l'état $|\psi\rangle$ avec la famille de projecteurs $(\text{pr}_j)_{j \in J}$, le nouvel état peut être vu comme la distribution de probabilité :

$$p := (p_j, |\psi_j\rangle)_{j \in J}$$

où

$$p_j = \|\text{pr}_j |\psi\rangle\|^2, \quad |\psi_j\rangle = \frac{1}{\|\text{pr}_j |\psi\rangle\|} \cdot \text{pr}_j |\psi\rangle.$$

Si on applique un opérateur d'évolution U au système, la distribution de probabilité évolue vers :

$$(p_j, U |\psi_j\rangle)_{j \in J}$$

États mixtes : mesures de probabilité

Si on **mesure** le système, dans l'état $|\psi_j\rangle$,
avec une famille de projecteurs $(q_k)_{k \in K}$,

$$\Pr(\mu = k) = \|q_k |\psi_j\rangle\|^2$$

La distribution de probabilité p transite vers :

$$p' := (p_j \cdot \|q_k |\psi_j\rangle\|^2, q_k |\psi_j\rangle)_{(j,k) \in J \times K}$$

États mixtes : Opérateurs de densité

Associons à l'état $|\psi\rangle$, l'opérateur : $\rho := |\psi\rangle\langle\psi|$

Après une évolution par U :

$$\rho' = U\rho U^*.$$

Effet d'une mesure par $(\text{pr}_j)_{j \in J}$:

$$\begin{aligned} \Pr\{\mu = j\} &= \|\text{pr}_j |\psi\rangle\|^2 = \text{Tr}(\text{pr}_j |\psi\rangle\langle\psi| \text{pr}_j^*) = \\ &= \text{Tr}(\text{pr}_j^* \text{pr}_j |\psi\rangle\langle\psi|) = \text{Tr}(\text{pr}_j |\psi\rangle\langle\psi|). \end{aligned}$$

$$\Pr\{\mu = j\} = \text{Tr}(\text{pr}_j \rho).$$

$$\rho' = \sum_{j \in J} \text{pr}_j |\psi_j\rangle\langle\psi_j| = \sum_{j \in J} \text{pr}_j |\psi\rangle\langle\psi| \text{pr}_j^*$$

$$\rho' = \sum_{j \in J} \text{pr}_j \rho \text{pr}_j^*$$

Conclusion : évolution et mesures s'expriment sur ρ

États mixtes : Opérateurs de densité

Proposition

Soit $\rho \in \mathcal{L}(\mathcal{H})$. Les propriétés suivantes sont équivalentes :

- 1- il existe des vecteurs unitaires $(|\psi_j\rangle)_{j \in J}$ et des nombres $p_j \in \mathbb{R}^+$ tels que $\sum_{j \in J} p_j = 1$ et $\rho = \sum_{j \in J} p_j |\psi_j\rangle \langle \psi_j|$.
- 2- $\rho = \rho^*$, $\forall |\psi\rangle \in \mathcal{H}, \langle \psi | \rho | \psi \rangle \geq 0$, $\text{Tr}(\rho) = 1$.

lorsque (1) ou (2) est vrai, on dit que ρ est un **opérateur de densité**.

États mixtes : Opérateurs de densité

Opération	loi de proba sur états	op. de densité
Etat initial	$\rho = (p_j, \psi_j\rangle)_{j \in J}$	ρ
Evolution selon U	$(p_j, U \psi_j\rangle)_{j \in J}$	$U\rho U^*$
$\Pr\{\mu = k\}$	$\sum_{j \in J} p_j \text{Tr}(\text{pr}_k \psi_j\rangle \langle \psi_j)$	$\text{Tr}(\text{pr}_k \rho)$
Etat après $\mu = k$	$(p_{j,k}, \frac{\text{pr}_k \psi_j\rangle}{\ \text{pr}_k \psi_j\rangle\ })_{(j,k) \in J \times K}$	$\sum_{k \in K} \text{pr}_k \rho \text{pr}_k^*$

où $p_{j,k} = p_j \cdot \|\text{pr}_k |\psi_j\rangle\|^2$.

États mixtes : Trace partielle

$$\text{Tr}_{\mathcal{F}} : \mathcal{L}(\mathcal{E}, \mathcal{E}) \otimes \mathcal{L}(\mathcal{F}, \mathcal{F}) \rightarrow \mathcal{L}(\mathcal{E}, \mathcal{E}) :$$

est l'application linéaire telle que, pour tous
 $L_1 \in \mathcal{L}(\mathcal{E}, \mathcal{E})$, $L_2 \in \mathcal{L}(\mathcal{F}, \mathcal{F})$:

$$\text{Tr}_{\mathcal{F}}(L_1 \otimes L_2) = \text{Tr}(L_2) \cdot L_1.$$

(L'existence et unicité de $\text{Tr}_{\mathcal{F}}$ découle, via la propriété universelle, du fait que $(L_1, L_2) \mapsto \text{Tr}(L_2) \cdot L_1$ est **bilinéaire**).

On nomme $\text{Tr}_{\mathcal{F}}$ la **trace partielle** sur \mathcal{F} .

Elle consiste, informellement, à “**oublier**” l'espace \mathcal{F} .

États mixtes : Trace partielle

Considérons un **état pur** dans un espace de Hilbert : $|\psi\rangle \in \mathcal{E} \otimes \mathcal{F}$.

$$|\psi\rangle = \sum_{j \in J} \alpha_j |\xi_j\rangle \otimes |\psi_j\rangle$$

où $\alpha_j \in \mathbb{C}$, $\xi_j \in \mathcal{E}$, $\langle \xi_j | \xi_j \rangle = 1$, et $(|\psi_j\rangle)_{j \in J}$ est une base orthonormée de \mathcal{F} .

Une mesure avec la famille de projecteurs $(p_{r_j})_{j \in J}$, (où p_{r_j} est la projection orthogonale sur $\mathcal{E} \otimes |\psi_j\rangle$) transforme l'état en la distribution de probabilité :

$$p = (|\alpha_j|^2, |\xi_j\rangle \otimes |\psi_j\rangle)_{j \in J}$$

si on "oublie" les $|\psi_j\rangle$ i.e. on envoie tout $|\xi\rangle \otimes |\psi_j\rangle$ sur $|\xi\rangle$ (pour $|\xi\rangle \in \mathcal{E}$), on obtient :

$$p' = (|\alpha_j|^2, |\xi_j\rangle)_{j \in J}$$

États mixtes : Trace partielle

$$\psi = \sum_{j \in J} \alpha_j |\xi_j\rangle \otimes |\psi_j\rangle$$

est représenté par l'opérateur de densité :

$$\rho = \sum_{j, k \in J} \alpha_j \bar{\alpha}_k |\xi_j\rangle \langle \xi_k| \otimes |\psi_j\rangle \langle \psi_k|.$$

$$\begin{aligned} \text{Tr}_{\mathcal{F}}(\rho) &= \sum_{j, k \in J} \alpha_j \bar{\alpha}_k |\xi_j\rangle \langle \xi_k| \cdot \text{Tr}(|\psi_j\rangle \langle \psi_k|) \\ &= \sum_{j \in J} |\alpha_j|^2 |\xi_j\rangle \langle \xi_j| \\ &= \rho'. \end{aligned}$$

États mixtes : Trace partielle

NB0 : ρ' **représente** ρ' .

NB1 : ρ' ne dépend **pas** de la base orthonormée $|\psi_j\rangle$.

NB2 : Si on part d'une **distribution de probabilité** p sur $\mathcal{E} \otimes \mathcal{F}$ on a la même équivalence entre :

- mesurer avec la famille de projecteurs $(\text{pr}_j)_{j \in J}$, puis projeter $\mathcal{E} \otimes |\psi_j\rangle$ sur \mathcal{E}

- prendre la trace partielle de l'opérateur de densité ρ associé à p .

L'algorithme de Simon via les états mixtes

Algorithme de Simon

DONNÉE : $f : (\mathbb{Z}/2\mathbb{Z})^n \rightarrow \mathbb{Z}/2\mathbb{Z}$

fortement périodique i.e. $\exists D \subseteq (\mathbb{Z}/2\mathbb{Z})^n$ s.t.

$$\forall x, y \in (\mathbb{Z}/2\mathbb{Z})^n, f(x) = f(y) \Leftrightarrow (x - y \in D)$$

RÉSULTAT : Une base de D .

Donnée : la "boîte noire" U_f :

$$U_f |x\rangle |y\rangle := |x\rangle |y \oplus f(x)\rangle.$$

Algorithme de Simon

Notons $G = (\mathbb{Z}/2\mathbb{Z})^n$.

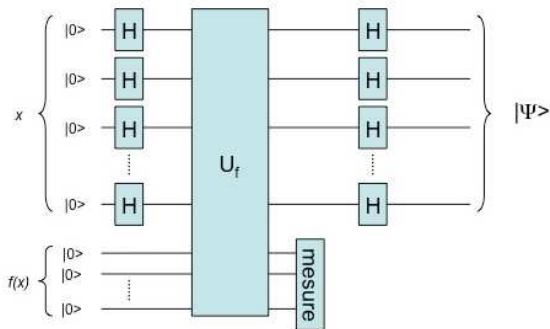


Figure – Le circuit.

Algorithme de Simon

État initial : $|\psi_0\rangle = |0^n\rangle \otimes |0^n\rangle$

Étape 1 :

$$\begin{aligned} |\psi_1\rangle &= H^{\otimes n} \otimes I_{2^n} |\psi_0\rangle \\ &= \frac{1}{2^{n/2}} \sum_{x \in G} |x\rangle \otimes |0^n\rangle \end{aligned}$$

Algorithme de Simon

Étape 2 :

$$\begin{aligned} |\psi_2\rangle &= U_f |\psi_1\rangle \\ &= \frac{1}{2^{n/2}} \sum_{x \in G} |x\rangle \otimes |f(x)\rangle \\ &\sim \rho_2 \\ &= \frac{1}{2^n} \sum_{x, y \in G} |x\rangle \langle y| \otimes |f(x)\rangle \langle f(y)| \end{aligned}$$

Algorithme de Simon

Étape 3 :

$$\begin{aligned}\rho_3 &= \text{Tr}_2(\rho_2) \\ &= \frac{1}{2^n} \sum_{x-y \in D} |x\rangle \langle y|\end{aligned}$$

Algorithme de Simon

Étape 4 :

$$\begin{aligned}
 \rho_4 &= H^{\otimes n} \rho_3 (H^\dagger)^{\otimes n} \\
 &= \frac{1}{2^n} \sum_{x-y \in D} H^{\otimes n} |x\rangle \langle y| H^{\otimes n} \\
 &= \frac{1}{2^{2n}} \sum_{x-y \in D} \sum_{a, b \in G} (-1)^{ax+by} |a\rangle \langle b| \\
 &= \frac{1}{2^{2n}} \sum_{a, b \in G} \sum_{x-y \in D} (-1)^{ax+by} |a\rangle \langle b|
 \end{aligned}$$

Algorithme de Simon

On analyse le coefficient

$$c(a, b) = \sum_{x-y \in D} (-1)^{ax+by}$$

cas 1 : $a = b \in D^\perp$

$$c(a, b) = \sum_{x-y \in D} (-1)^{a(x-y)} = |G| \cdot |D|.$$

Algorithme de Simon

cas 2 : $a = b \in D \setminus D^\perp$

Soit $d_0 \in D, a \cdot d_0 = 1$.

$$\begin{aligned}
 c(a, b) &= \sum_{x \in G, d \in D} (-1)^{ad} \\
 &= \sum_{x \in G, d \in D \cap a^\perp} (-1)^{a(d_0+d)} + \sum_{x \in G, d \in D \cap a^\perp} (-1)^{ad} \\
 &= (-1)^{ad_0} \sum_{x \in G, d \in D \cap a^\perp} (-1)^{ad} + \sum_{x \in G, d \in D \cap a^\perp} (-1)^{ad} \\
 &= 0.
 \end{aligned}$$

Algorithme de Simon

cas 3 : $a \neq b$

Soit $x_0 \in G \setminus (a + b)^\perp$.

$$\begin{aligned}
 c(a, b) &= \sum_{x \in G, d \in D} (-1)^{ax + b(x+d)} = \sum_{x \in G, d \in D} (-1)^{ax + bx} (-1)^{bd} \\
 &= \sum_{x \in G} (-1)^{(a+b)x} \sum_{d \in D} (-1)^{bd} \\
 &= \left(\sum_{x \in x_0 + (a+b)^\perp} (-1)^{(a+b)x} + \sum_{x \in (a+b)^\perp} (-1)^{(a+b)x} \right) \sum_{d \in D} (-1)^{bd} \\
 &= \left((-1)^{(a+b)x_0} \sum_{x \in (a+b)^\perp} (-1)^{(a+b)x} + \sum_{x \in (a+b)^\perp} (-1)^{(a+b)x} \right) \sum_{d \in D} (-1)^{bd} \\
 &= 0.
 \end{aligned}$$

Algorithme de Simon

Finalement :

$$\begin{aligned}\rho_4 &= \frac{1}{2^{2n}} \sum_{a=b \in D^\perp} |G| \cdot |D| |a\rangle \langle b| \\ &= \frac{|D|}{|G|} \sum_{a \in D^\perp} |a\rangle \langle a|\end{aligned}$$

ρ_4 est la loi **uniforme** sur D^\perp .

Algorithme de Simon

La fin est un algorithme **probabiliste** (classique) :

On tire aléatoirement ℓ vecteurs x_1, x_2, \dots, x_ℓ de D^\perp selon la loi de ρ_4 :

$$\Pr(\langle x_1, x_2, \dots, x_\ell \rangle = D^\perp) \geq 1 - \frac{|D^\perp|}{2^\ell}.$$

La décohérence via les états mixtes

La décohérence

Soit

$$\rho = \sum_{a \in \mathbb{B}^n, b \in \mathbb{B}^n} \rho_{a,b} |a\rangle \langle b|$$

un opérateur de densité.

On se demande par quel processus il peut se transformer en

$$\rho' = \sum_{a \in \mathbb{B}^n} \rho_{a,a} |a\rangle \langle a|$$

qui représente la loi de probabilité $(\rho_{a,a}, \{|a\rangle\} \mid a \in \mathbb{B}^n)$.

La décohérence

Une copie dans la base canonique, suivie d'une trace partielle, a cet effet.

Soit $U : (\mathcal{B}^{\otimes n} \otimes \mathcal{B}^{\otimes n}) \rightarrow (\mathcal{B}^{\otimes n} \otimes \mathcal{B}^{\otimes n})$:

$$U |x\rangle |y\rangle := |x\rangle |x \oplus y\rangle.$$

$$\begin{aligned} \rho_1 &= \rho \otimes |0^n\rangle \langle 0^n| \\ \rho_2 &= U \rho_1 U^* \\ &= \sum_{a \in \mathbb{B}^n, b \in \mathbb{B}^n} \rho_{a,b} (U |a\rangle |0^n\rangle) (\langle b| \langle 0^n| U^*) \\ &= \sum_{a \in \mathbb{B}^n, b \in \mathbb{B}^n} \rho_{a,b} (|a\rangle |a\rangle) (\langle b| \langle b|) \end{aligned}$$

La décohérence

$$\begin{aligned}\rho_3 &= \text{Tr}_2(\rho_2) \\ &= \sum_{a \in \mathbb{B}^n, b \in \mathbb{B}^n} \rho_{a,b}(|a\rangle \langle b|) \cdot \text{Tr}(|a\rangle \langle b|) \\ &= \sum_{a \in \mathbb{B}^n} \rho_{a,a}(|a\rangle \langle a|) \\ &= \rho'\end{aligned}$$